

Outils numériques pour  
des modèles d'EDP issus  
de problèmes physiques

14 x 3h: repartis 50% TP  
50% cours / exos

† Types d'EDP : - elliptique  
- parabolique  
- dispersives  
- hyperbolique d'ordre 2  
(équ<sup>e</sup> des ondes)

Sauf Navier-Stokes incompressible

EDP de la physique : cours

TP: 3 initia<sup>e</sup>

+ 5 projets (aide sur 3 TP)

↳ 1 partie de la note

TP initia<sup>e</sup> : package en F90

- sys. creux.

- sortie

- visu : VisIt

(salle machine linux)

## Chap 1 INTRODUCTION

### I Rappel d'analyse.

1) Espace de fonction.

Soit  $\Omega \subset \mathbb{R}^m$  ouvert

$$f: \Omega \rightarrow \mathbb{R}$$

On peut choisir  $f$  plus  
ou moins régulière :  $f \in \mathcal{C}^\infty(\Omega)$   
-  $f \in \mathcal{C}^0(\Omega)$

Un espace de fonction est en  
général de dimension  $\infty$ .  
Les différents espaces choisis avec  
une norme associée. Ces  
normes n'ont aucune raison  
d'être équivalentes.

exple:  $f \in L^2(\Omega)$  :

$$\|f\|_{L^2}^2 = \int_{\Omega} |f|^2 dx$$

$$\|f\|_{L^1} = \int_{\Omega} |f| dx$$

$$\|f\|_{L^\infty} = \sup_{x \in \Omega} |f|$$

$$H^1(\Omega) = \left\{ f \in L^2(\Omega) \text{ tq } \partial_{x_i} f \in L^2(\Omega) \right. \\ \left. 1 \leq i \leq n \right\}$$

$$\|f\|_{H^1}^2 = \int_{\Omega} f^2 dx + \sum_i \int_{\Omega} |\partial_{x_i} f|^2 dx$$

Lorsque ces espaces de fonctions seront approchés par des espaces de dimension finie, il faut être vigilant sur le fait que

les normes associées seront  $\Leftrightarrow$

à des constantes multiplicatives près qui ne seront pas uniformes par rapport à l'approximation.

2) Fonctions de plusieurs variables

$\Omega \subset \mathbb{R}^n$   
a) Noté  $f: \Omega \rightarrow \mathbb{R}$  de classe  $\mathcal{C}^2$ .

$\frac{\partial}{\partial x_i} f = \partial_i f$  est la dérivée de  $f$  dans la direction  $x_i$ .

Si:  $F: \Omega \rightarrow \mathbb{R}^r$ ,  $F$  est une

fonction vectorielle

$$F \in C^\infty(\Omega) \Leftrightarrow F_i \in C^\infty(\Omega) \\ 1 \leq i \leq r$$

$$F = (F_1, F_2, \dots, F_r).$$

b) Formule de Green.

en dimension 1: IPP

$$(fg)' = fg' + f'g \\ \int_a^b f'g = - \int_a^b fg' + [fg]_a^b$$

en dimension supérieure:

Formule de Green (Stokes):  
 $\Omega \subset \mathbb{R}^n$ :

$$\int_{\Omega} \partial_{x_i} f g \, dx = - \int_{\Omega} f \partial_{x_i} g \, dx \\ + \int_{\partial\Omega} f g n_i \, d\sigma =$$

où  $\partial\Omega$  est le bord de  $\Omega$ ,  
 $n_i$  la  $i$ -ème composante  
de la normale (unitaire)  
sortante.

### 3) Opérateurs différentiels.

#### a) Définition :

- le gradient :  $f : \Omega \rightarrow \mathbb{R}$   
 $\nabla f : \Omega \rightarrow \mathbb{R}^n$

$$\nabla f = (\partial_{x_1} f, \partial_{x_2} f, \dots, \partial_{x_n} f)^t.$$

exemple : le champ électrique dérive  
d'un potentiel  $V$  :

$$E = -\nabla V.$$

- la divergence :  $F : \Omega \rightarrow \mathbb{R}^n$

$$\operatorname{div} F = \nabla \cdot F = \sum_{i=1}^n \partial_{x_i} F_i$$

- en électrostatique :  $\operatorname{div} E = \frac{\rho}{\epsilon_0}$
- en mécanique fluide :  $\operatorname{div} u = 0$

$u$  : vitesse de l'écoulement

↳ écoulement incompressible.

- le laplacien :  $\Delta f = \nabla \cdot \nabla f$

$$\text{exple } -\Delta V = \frac{\rho}{\epsilon} = \sum_i \partial_{x_i}^2 f = \operatorname{div}(\nabla f)$$

le rotational (curl en anglais)

$$F: \Omega \subset \mathbb{R}^3 \rightarrow \mathbb{R}^3$$

$$\text{rot } F = \nabla \times F$$

$$= \begin{vmatrix} \partial_1 & \times & \\ \partial_2 & & \\ \partial_3 & & \end{vmatrix} \begin{vmatrix} F_1 \\ F_2 \\ F_3 \end{vmatrix} = \begin{vmatrix} \partial_2 F_3 - \partial_3 F_2 \\ \partial_3 F_1 - \partial_1 F_3 \\ \partial_1 F_2 - \partial_2 F_1 \end{vmatrix}$$

en méca flux: le vecteur tourbillon est

$$\nabla \times u \quad \text{où}$$

$u$  est la vitesse

En électromagnétisme: eq

de Maxwell:

$$\partial_t B + \nabla \times E = 0$$

$$\partial_t E - c^2 \nabla \times B = -\partial_t \Gamma$$

• le Laplacien vectoriel:

$$F: \Omega \rightarrow \mathbb{R}^3$$

$$\Delta F = \begin{pmatrix} \Delta F_1 \\ \Delta F_2 \\ \Delta F_3 \end{pmatrix} = \nabla \cdot \nabla F$$

$$= \nabla \nabla \cdot F$$

$$- \nabla \times (\nabla \times F)$$

Exo: retrouver l'éq des ondes électro

magnétiques

b) Formules remarquables.

propriété :  $\text{rot } \nabla f = 0 \quad \forall f$ .

preuve : exo  $\nabla \times \nabla f = \begin{vmatrix} \partial_1 & \partial_2 & \partial_3 \\ \partial_1 f & \partial_2 f & \partial_3 f \end{vmatrix}$

$$= \begin{pmatrix} \partial_2 \partial_3 - \partial_3 \partial_2 \\ \dots \\ \dots \end{pmatrix} f$$

La réciproque est faite utile :

prop : Si  $F : \Omega \rightarrow \mathbb{R}^3$  et si  $\Omega$

est simplement connexe et si  $\nabla \times F = 0 \quad \forall x \in \Omega$  et l'écoulement est défini  
alors

il existe  $f : \Omega \rightarrow \mathbb{R} \quad \forall q$

$$F = \nabla f.$$

On dit que  $F$  dérive d'un potentiel.

Exple : un fluide irrotationnel  
dérive d'un potentiel.

$$u = \nabla \psi.$$

Si de plus l'écoulement est

incompressible :  $\text{div } u = 0$ , alors

$$\Delta \psi = 0.$$

et l'écoulement est défini  
et piloté par  $\psi|_{\partial\Omega}$ .

prop :  $\nabla \cdot \nabla \times F = 0$

preuve : exo.

On a là aussi une réciproque :

prop : Si  $F : \Omega \rightarrow \mathbb{R}^3$  et si  $\Omega$  est simplement connexe et si  $\operatorname{div} F = 0$  alors  $\exists G$  t.q.  $F = \nabla \times G$ .

Rqm :  $G$  est fixé qu'à un gradient près (car  $\nabla \times \nabla = 0$ )

c) Formule de Green généralisée

$$\bullet \int_{\Omega} \nabla f \cdot G \, dx = - \int_{\Omega} f \operatorname{div} G \, dx + \int_{\partial \Omega} f G \cdot n \, d\mathcal{V}$$

$$\begin{aligned} \text{en effet } \int_{\Omega} \sum_i \partial_i f G_i \, dx &= - \int_{\Omega} f \sum_i \partial_i G_i \, dx \\ &+ \int_{\partial \Omega} f \sum_i G_i n_i \, d\mathcal{V} \end{aligned}$$



$$\int_{\Omega} \Delta f(x) g(x) dx = \int \operatorname{div} \nabla f g dx$$

$$= - \int_{\Omega} \nabla f \cdot \nabla g dx + \int_{\partial \Omega} g \underbrace{\nabla f \cdot n}_{\partial_n f} d\gamma$$

d'après la formule précédente

$$= + \int_{\Omega} f \Delta g dx + \int_{\partial \Omega} g \partial_n f d\gamma - \int_{\partial \Omega} \partial_n g f d\gamma$$

$$\text{Exo: } \int_{\Omega} \Delta^2 f g dx = \int_{\Omega} \Delta f \Delta g dx + \dots$$

$$\int_{\Omega} \nabla \times W \cdot V dx = \dots$$

4) Exemples d'EDP en Physique,

a) Cas linéaire.

#) Stationnaire.

-  $\Delta f = g$  sur  $\Omega$ : équation de Laplace.

ces eq. seront révisées ds le chap 2

ex:  $-\Delta V = \frac{\rho}{\epsilon_0}$  en électrostatique

$\Delta \psi = 0 \rightarrow$  écoulement irrot.  
incomp.

il manque des conditions limites  
au bord de  $\Omega$ .

On rencontre le m type d'EDP  
(elliptique) en mécanique:

Stokes incompressible stationnaire:

$$\begin{cases} -\mu \Delta u + \nabla \pi = f & \text{sur } \Omega \\ \operatorname{div} u = 0 & \text{sur } \Omega \\ + CL & \text{sur } \partial\Omega \end{cases}$$

Elasticité linéaire:

$\epsilon_{ij}$ : tenseur des déformations.

$\vec{u}$ : champ des déplacements

$\sigma_{ij}$ : tenseur des contraintes:

$$\epsilon_{ij} = \frac{1}{2} \left( \frac{\partial u_i}{\partial x_j} + \frac{\partial u_j}{\partial x_i} \right)$$

$$\operatorname{div} \sigma + \vec{f} = \vec{0} \text{ sur } \Omega$$

$\vec{f}$ : force appliquée.

$$\sigma_{ij} = E_{ijkl} \epsilon_{kl}(u) \\ + CL \text{ à préciser.}$$

##) EDP d'évolution.

En général, la variable temps, noté  $t$ , paramètre la fonction inconnue (phénomène instationnaire)

L'asymptotique n'est pas toujours en état stationnaire du problème.

• Eq de type la chaleur (parabolique chap 3). Cette eq décrit tous les phénomènes de diffusion instationnaires.

$$\partial_t \theta - \Delta \theta = f$$

• l'eq des ondes: (chap 4)

$$\partial_t^2 u - c^2 \Delta u = f$$

$c$ : vitesse de propagation.

- se rencontre en électromagnétisme.
- - - en acoustique.
- - - en élasticité.

$$\rho \partial_{tt}^2 u_i = \operatorname{div} \sigma_i + \rho f_i$$

• Eq dispersives.

• eq de Schrödinger

$$u: (0, T) \times \Omega \rightarrow \mathbb{C}$$
$$i \partial_t u + \Delta u = 0$$

## b) Eqs Non Linéaires.

On reprend les modèles précédents en y intégrant des termes N.L. (ie faisant intervenir des produits)

• Exple: Navier-Stokes:

$$\rho (\partial_t u + \underline{u \cdot \nabla} u) - \mu \Delta u + \nabla p = \ell f$$

$$\operatorname{div} u = 0 \quad (\text{incompressible})$$

## • Schrödinger NL

$$i \partial_t u + \Delta u = \pm |u|^2 u$$

Le phénomène de compensation entre terme dispersif et le terme N.L.

On a le même type de difficulté

$$\text{avec KdV: } \partial_t u + \frac{3}{2} u + u \partial_x u = 0$$

(encore une eq d'onde de surface)

Idem avec Boussinesq, BBM...

## Chap. 2 Problème aux limites elliptique

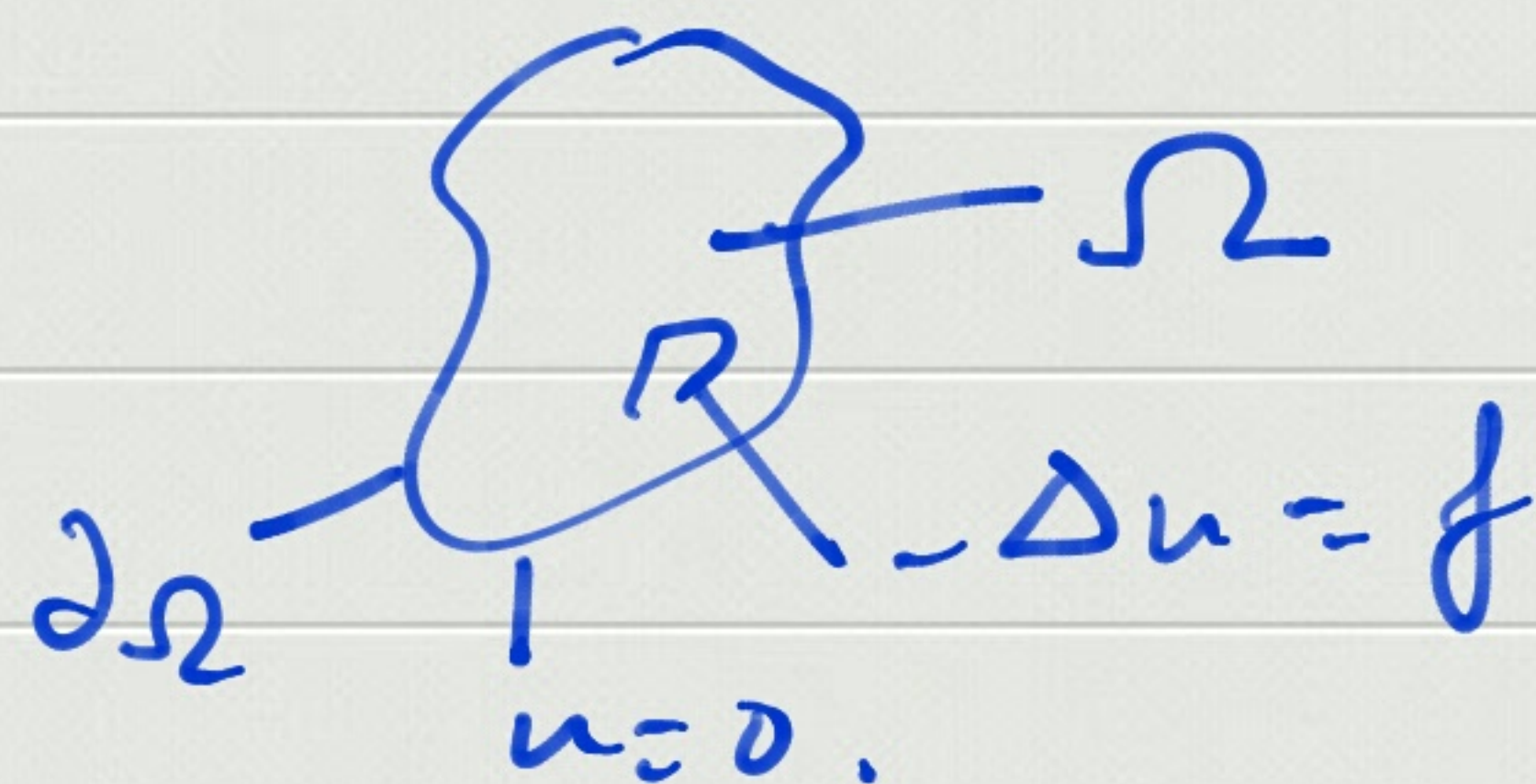
Le but est de revoir le passage d'une formulâ EDP à une formulâ variationnelle ou formulâ faible.

1) Exemple du problème de Dirichlet.

On cherche  $u$  solu<sup>o</sup> de

$$\begin{cases} -\Delta u = f & \text{sur } \Omega \\ u|_{\partial\Omega} = 0 \end{cases}$$

avec  $\Omega \subset \mathbb{R}^m$  ouvert borné, de bord  $\partial\Omega$



Fundamentalement, on multiplie l'EDP par une fonction  $v$  et on intègre sur  $\Omega$ ;

$$\int_{\Omega} -\Delta u v \, dx = \int_{\Omega} f v \, dx$$

$$\int_{\Omega} \nabla u \cdot \nabla v \, dx - \int_{\partial\Omega} \partial_n u v \, d\sigma = \int_{\Omega} f v \, dx$$

On va supposer  $\sigma|_{\partial\Omega} = 0$ , même hypothèse

que ce qui est demandé à  $u$ .

On a alors  $\int_{\Omega} \nabla u \cdot \nabla v \, dx = \int_{\Omega} f v \, dx$

$$\forall v \in ? \text{ tq } v|_{\partial\Omega} = 0.$$

Si on veut  $u$  et  $v$  ds le même espace

et que  $\int_{\Omega} \nabla u \cdot \nabla v \, dx < +\infty$ , on

choisit l'espace naturel :  $u, v \in H_0^1(\Omega)$ .

$$H_0^1(\Omega) = \left\{ u \in L^2(\Omega), \nabla u \in (L^2(\Omega))^n, u|_{\partial\Omega} = 0 \right\}$$

2) Formule Variationnelle et thm  
de Lax-Milgram

On se donne :

i) un espace de Hilbert  $V$  de norme  $\|\cdot\|$

ii) une forme bilinéaire

$$(u, v) \rightarrow a(u, v)$$

continue sur  $V \times V$  i.e.  $a(u, v) \leq C \|u\| \|v\|$

et  $V$ -elliptique (ou coercive sur  $V$ )

$$\text{i.e. } \exists c > 0 \text{ tq } a(u, u) \geq c \|u\|^2$$

$$\forall u \in V.$$

iii) une forme linéaire  $l$ , continue sur  $V$ , ie  $l(v) \leq c \|v\|$ .

Pb : Formule Variationale:

$$(V) \begin{cases} \text{Trouver } u \in V \text{ tq } \forall v \in V \\ a(u, v) = l(v). \end{cases}$$

Thm de Lax-Milgram : Sous les hyp. (i)  $\rightarrow$  (iii), le pb (V) admet une unique solution  $u \in V$ .

Applicâ : la formule variationnelle du pb de Dirichlet vérifie les hyp. de Lax-Milgram.

$$\begin{aligned} V &= H_0^1(\Omega). \quad \|v\|^2 = \|v\|_{L^2}^2 + \|\nabla v\|_{L^2}^2 \\ (u|v)_V &= (u|v)_{L^2} + (\nabla u | \nabla v)_{L^2} \\ a(u, v) &= \int_{\Omega} \nabla u \cdot \nabla v \, dx \leq \|\nabla u\|_{L^2} \|\nabla v\|_{L^2} \\ &\quad \text{par Cauchy-Schwarz.} \\ &\leq \|u\|_V \|v\|_V \end{aligned}$$

$$a(u, u) = \int_{\Omega} |\nabla u|^2 \, dx \geq c \left( \int_{\Omega} u^2 \, dx + \|\nabla u\|_{L^2}^2 \right) \geq c \|u\|_V^2$$

L'inégalité  $\int |\nabla u|^2 dx \geq c_0 \int |u|^2 dx$   
 $\forall u \in H_0^1(\Omega)$

est vrai pour un  $c_0 > 0$ , c'est  
l'inégalité de Poincaré.

ii) est donc vrai.

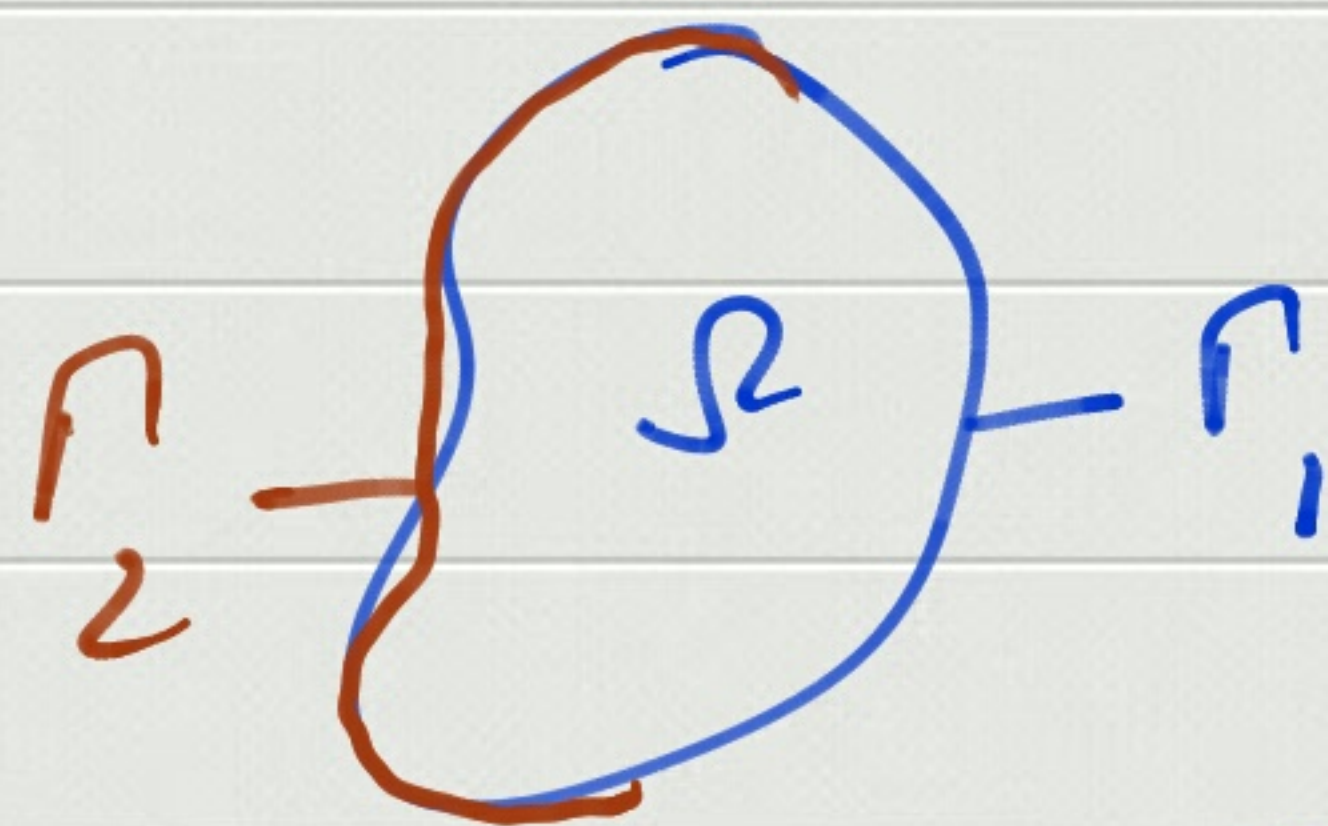
iii) est vrai, par exemple si  $f \in L^2(\Omega)$ .

$$\int_{\Omega} f v \leq \|f\|_{L^2} \|v\|_{L^2}$$
$$\leq \|f\|_{L^2} \|v\|_V.$$

3) Exemples de F.V.

Soit l'EDP : 
$$\begin{cases} -\Delta u + u = f \text{ sur } \Omega \\ \partial_n u|_{\Gamma_1} = 2 \\ \partial_n u + 3u = 1 \text{ sur } \Gamma_2 \end{cases}$$

avec  $\partial\Omega = \Gamma_1 \cup \Gamma_2$



On écrit formellement la F.V.



$$\int_{\Omega} \nabla u \cdot \nabla v \, dx - \int_{\partial\Omega} \partial_n u \, v \, d\gamma \stackrel{+\int_{\Omega} u \, v \, dx}{=} \int_{\Omega} f \, v \, dx$$

$$\int_{\partial\Omega} \partial_n u \, v \, d\gamma = \int_{\Gamma_1} 2 \, v \, d\gamma + \int_{\Gamma_2} -3u \, v \, d\gamma + \int_{\Gamma_2} v \, d\gamma$$

$$a(u, v) = \int_{\Omega} \nabla u \cdot \nabla v \, dx + \int_{\Omega} u \, v \, dx + 3 \int_{\Gamma_2} u \, v \, d\gamma$$

$$l(v) = \int_{\Omega} f \, v \, dx + 2 \int_{\Gamma_1} v \, d\gamma + \int_{\Gamma_2} v \, d\gamma$$

On choisit  $V = H^1(\Omega)$ .

$$\int_{\Gamma_2} u \, v \, d\gamma \leq \|u\|_{L^2(\Gamma_2)} \|v\|_{L^2(\Gamma_2)}$$

$$\leq \|u\|_{L^2(\partial\Omega)} \|v\|_{L^2(\partial\Omega)}$$

$$\leq C \|u\|_{H^{1/2}(\Omega)} \|v\|_{H^{1/2}(\Omega)}$$

$$\leq C' \|u\|_{L^2(\Omega)}^{1/2} \|u\|_{H^1(\Omega)}^{1/2} \|v\|_{L^2(\Omega)}^{1/2} \|v\|_{H^1(\Omega)}^{1/2}$$

$$\|v\|_{H^1(\Omega)}^{1/2}$$

$$\leq C'' \|u\|_{H^1} \|v\|_{H^1}$$

idem pour les autres  
majorés.

$$a(u, u) = \|u\|_{H^1}^2 + 3 \int_{\Gamma} u^2 d\gamma$$

$$\succ \|u\|_{H^1}^2 \Rightarrow a(\cdot, \cdot) \text{ H' elliptique}$$

Idem pour la continuité de  $\ell(v)$ .

• On peut donc appliquer le thm de Lax-Milgram:  $\exists! u \in H^1(\Omega)$

• On va vérifier que le  $u$  ainsi construit vérifie bien le pb de départ: l'EDP.

On se limite à  $v \in \mathcal{D}(\Omega)$

et  $a(u, v) = \ell(v) \quad \forall v \in \mathcal{D}(\Omega)$   
 $\subset H^1(\Omega)$

On refait les formules de Green dans l'autre sens.

$$\int_{\Omega} (-\Delta u + u - f) v dx = 0 \quad \forall v \in \mathcal{D}(\Omega)$$

$$\text{Donc } -\Delta u + u - f = 0 \text{ ds } \mathcal{D}'(\Omega)$$

$$-\Delta u + u = f \in L^2(\Omega)$$

On refait le même calcul avec

$$v \in H^1(\Omega) \int_{\Omega} (-\Delta u + u - f) v dx + \int_{\partial\Omega} \frac{\partial u}{\partial n} v d\gamma + 3 \int_{\Gamma} u v d\gamma + \dots$$

$$\int_{\Gamma_1} 2v \, d\gamma = \int_{\Gamma_2} v \, d\gamma = 0$$

Comme  $\int_{\Omega} \dots = 0$ , il reste

$$\int_{\Gamma_1} (\partial_n u - 2) v \, d\gamma$$

$$+ \int_{\Gamma_2} (\partial_n u + 3u - 1) v \, d\gamma = 0$$

$v|_{\Gamma_1} = 0$  et  $v$  "q.c.q" sur  $\Gamma_2$ :

Donc  $\partial_n u + 3u - 1 = 0$  sur

$\Gamma_2$  au sens

du dual de  $v$  "q.c.q".

On fait de même avec  $v$  "q.c.q" sur

$$\Gamma_1 \text{ et } \int_{\Gamma_1} (\partial_n u - 2) v \, d\gamma = 0$$

$$\hookrightarrow \partial_n u = 2$$

au sens du dual  
des  $v$  "q.c.q", de  $H^{1/2}(\Gamma_1)$

• Exercice: Trouver la F.V. pour le système:

$$\begin{cases} -\operatorname{div}(k(x)\nabla u_1(x)) - u_2(x) = f(x) \\ -\Delta u_2(x) + u_2(x) + u_1(x) = g(x) \\ u_1|_{\partial\Omega} = 0 \\ \partial_n u_2|_{\partial\Omega} = 0 \end{cases}$$

On multiplie la 1<sup>ère</sup> eq par  $\sigma_1$ , la 2<sup>ème</sup> par  $\sigma_2$ , on somme, on intègre sur  $\Omega$  et on trouve:

$$\int_{\Omega} -\operatorname{div}(k \nabla u_1) \sigma_1 dx + \int_{\Omega} \Delta u_2 \sigma_2 dx - \int_{\Omega} u_2 \sigma_1 dx + \int_{\Omega} u_1 \sigma_2 dx + \int_{\Omega} u_2 \sigma_2 dx = \int_{\Omega} f \sigma_1 + g \sigma_2 dx$$

En appliquant la formule de Green, il vient:

$$\int_{\Omega} k \nabla u_1 \cdot \nabla \sigma_1 dx + \int_{\Omega} \nabla u_2 \cdot \nabla \sigma_2 dx - \int_{\partial \Omega} k \partial_n u_1 \sigma_1 d\gamma - \int_{\partial \Omega} \partial_n u_2 \sigma_2 d\gamma + \dots$$

On choisit  $\sigma_1 \in H_0^1(\Omega)$  pour éliminer le 1<sup>er</sup> terme de bord, ce qui n'est pas gênant puisqu'on cherche  $u_1$  dans le m<sup>ême</sup> espace que  $\sigma_1$ .

On obtient:  $\sigma_1 \in H_0^1(\Omega), \sigma_2 \in H^1(\Omega)$

$$a\left(\begin{pmatrix} u_1 \\ \sigma_2 \end{pmatrix}, \begin{pmatrix} \sigma_1 \\ \sigma_2 \end{pmatrix}\right) = \int_{\Omega} k \nabla u_1 \cdot \nabla \sigma_1 dx$$

$$+ \int_{\Omega} \nabla u_2 \cdot \nabla \sigma_2 dx + \int_{\Omega} u_2 \sigma_2 dx$$

$$+ \int_{\Omega} u_1 \sigma_2 - u_2 \sigma_1 dx$$

$$l\left(\begin{pmatrix} v_1 \\ v_2 \end{pmatrix}\right) = \int_{\Omega} f v_1 dx + \int_{\Omega} g v_2 dx.$$

On vérifie que  $a$  et  $l$  sont resp. bilinéaires et linéaires continues sur  $H_0^1(\Omega) \times H_0^1(\Omega) = V$  muni

$$\text{de la norme: } \left\| \begin{pmatrix} u_1 \\ u_2 \end{pmatrix} \right\|_V^2 = \|u_1\|_{H^1}^2 + \|u_2\|_{H^1}^2$$

Si  $k$  est borné, la continuité de  $a$  est vérifiée.

$$\int k \nabla u_1 \cdot \nabla v_1 dx \leq \|k\|_{\infty} \|\nabla u_1\|_{L^2} \|\nabla v_1\|_{L^2}$$

...

•  $a$  est  $V$ -elliptique:

$$a\left(u, u\right) = \int_{\Omega} k |\nabla u_1|^2 + \|u_2\|_{H^1}^2 + \int_{\Omega} u_1 u_2 - u_2 u_1 dx$$

$u = \begin{pmatrix} u_1 \\ u_2 \end{pmatrix}$

$$\geq C \left[ \|\nabla u_1\|_{L^2}^2 + \|u_2\|_{H^1}^2 \right]$$

vrai si  $\underline{k(x)}, k_0 > 0$  et

on a appliqué l'inégalité de Poincaré sur  $H_0^1(\Omega)$ .

$$\left( \|u\|_{L^2} \leq c \|\nabla u\|_{L^2}, u \in H_0^1 \right)$$

4) Le pb de Neuman.

En mécanique des fluides incompressibles on est amené à projeter un champ de vitesse défini sur  $\Omega \subset \mathbb{R}^n$  sur les champs de vitesse à divergence nulle.

Soit  $u \in (L^2(\Omega))^n$  ( $n=2$  ou  $3$ ).  
ce champ de vitesse.

Il existe une décomposition (de Hodge ou de Leray) :

$$u = u_{||} + u_{\perp}$$

$$\text{avec } \operatorname{div} u_{\perp} = 0$$

$u_{||}$  prend la forme  $\nabla \varphi$   
et  $u_{\perp} = \operatorname{rot} \psi$

$$\text{Donc } \underline{\operatorname{div} u} = \operatorname{div} \nabla \varphi = \underline{\Delta \varphi}$$

Au bord de  $\Omega$ , on choisira :

$$\text{(si on peut) } u \cdot n = u_{\perp} \cdot n$$

(en fait : si  $\int_{\partial \Omega} u \cdot n \, d\sigma = 0$ )

$$\text{On veut donc } u_{||} \cdot n = (u - u_{\perp}) \cdot n = 0$$

$$\underline{\underline{\partial_n \varphi = 0}}$$

On se retrouve avec  $\mathcal{U}$  défini par:

$$\begin{cases} \Delta \mathcal{U} = \operatorname{div} u \\ \partial_n \mathcal{U} = 0 \end{cases}$$

On est donc intéressé par le pb de Neuman (ou pb de Poisson):

$$(M) \begin{cases} -\Delta \mathcal{U} = f \\ \partial_n \mathcal{U} = 0 \end{cases}$$

Remarque: Condition de compatibilité.

On voit qu'il y a une condition nécessaire pour qu'une

solu<sup>e</sup> puisse exister:

$$\int_{\Omega} \Delta \mathcal{U} = \int_{\partial \Omega} \partial_n \mathcal{U} = \int_{\Omega} f \, dx$$

On cherche la F.V. du pb

(M): On multiplie par  $\mathcal{U}$  et on intègre: (fonction test)

$$\int_{\Omega} \nabla \mathcal{U} \cdot \nabla \mathcal{U} \, dx = \int_{\Omega} f \mathcal{U} \, dx - \int_{\partial \Omega} \partial_n \mathcal{U} \mathcal{U} \, d\gamma$$

$$\text{On pose } a(\mathcal{U}, \mathcal{U}) = \int_{\Omega} \nabla \mathcal{U} \cdot \nabla \mathcal{U} \, dx \\ \ell(\mathcal{U}) = \int_{\Omega} f \mathcal{U} \, dx$$

Si  $\varphi, \psi \in H^1(\Omega)$ , tout marche  
pour le thm de Lax- $\Pi$ . sauf là  
 $H^1$ -ellipticité.

On va choisir  $\varphi, \psi \in \dot{H}^1(\Omega)$   
 $= \{ \varphi \in H^1 / \int_{\Omega} \varphi = 0 \}$

Sur cet espace, on admet que

l'inégalité de Poincaré est vraie et  
on a ainsi la  $\dot{H}^1$ -ellipticité de

$a(\cdot, \cdot)$ .

Rq : Ce n'est pas choquant

de choisir  $\varphi$  à  $\int \varphi = 0$  car cela  
permet de fixer la constante  
de toutes les sol<sup>ns</sup> de  $(\mathcal{M})$ . Car  
si une sol<sup>ns</sup> de  $(\mathcal{M})$  existe alors  
cette sol<sup>ns</sup> + cte est encore sol<sup>ns</sup>.

Donc  $(\mathcal{V}) \quad a(\varphi, \psi) = l(\psi)$

$\forall \psi \in \dot{H}^1(\Omega)$

admet une ! sol<sup>ns</sup> de  $\dot{H}^1(\Omega)$ .

La sol<sup>ns</sup> de  $(\mathcal{V})$  est-elle sol<sup>ns</sup> de  
 $(\mathcal{M})$  ?



On remarque que

$$a(\psi, \psi + c) = a(\psi, \psi) \text{ avec } c = \text{cte.}$$

$$l(\psi + c) = l(\psi) + c \int_{\Omega} f \, dx$$

$$\text{Or } \int_{\Omega} f \, dx = 0$$

$$\text{Dac } a(\psi, \psi + c) = l(\psi + c) \quad \forall c = \text{cte.}$$

$$\text{Denc } \forall \psi \in H^1(\Omega), \quad a(\psi, \psi) = l(\psi).$$

$$\text{Or } \mathcal{D}(\Omega) \subset H^1(\Omega) \Rightarrow a(\psi, \psi) = l(\psi) \quad \forall \psi \in \mathcal{D}(\Omega)$$

Après la Formule de Green, on trouve :

$$\int_{\Omega} (-\Delta \psi - f) \psi \, dx = 0$$

$$\text{Denc } -\Delta \psi = f \text{ ds } \mathcal{D}'(\Omega) \text{ et donc ds } L^2(\Omega).$$

On refait le m<sup>^</sup> calcul avec  $\psi \in H^1(\Omega)$ , on a

$$\int_{\partial \Omega} \partial_n \psi \, \psi \, d\gamma = 0 \quad \forall \psi$$

$$\text{Denc } \partial_n \psi = 0 \text{ en un certain}$$

sens.

5) Le pb de Stokes incompressible

On cherche à minimiser la déform<sup>^</sup> du fluide incompressible

soumis à des forces volumiques  $f$ .

On cherche

$$\min_{u \in V} \int_{\Omega} \frac{\mu}{2} |\nabla u|^2 - f \cdot u \, dx = J(u)$$

$$V = \left\{ v \in (H_0^1(\Omega))^n, \operatorname{div} v = 0 \right\}$$

avec  $\Omega \subset \mathbb{R}^m$ . Si  $u$  réalise le min en  $V$ :

$$J'(u)(v) = \mu \int_{\Omega} \nabla u \cdot \nabla v \, dx - \int_{\Omega} f \cdot v \, dx = 0$$

$$\forall v \in V.$$

Donc  $\mu \int_{\Omega} \nabla u \cdot \nabla v \, dx = \int_{\Omega} f \cdot v \, dx$   
 $\forall v \in V.$

$$J_{\varepsilon}(v) = J(v) + \frac{1}{2\varepsilon} \int_{\Omega} |\operatorname{div} v|^2 \, dx$$

$\varepsilon > 0$  destiné à être petit.

On va minimiser  $J_{\varepsilon}$  en  $(H_0^1(\Omega))^n$ .

On espère que si  $u_{\varepsilon}$  sol<sup>c</sup>

$$\min_{v \in H_0^1} J_{\varepsilon}(v) = J_{\varepsilon}(u_{\varepsilon})$$

alors  $u_{\varepsilon} \xrightarrow{\varepsilon \rightarrow 0} u$  (u sol<sup>c</sup> min  $J$ )

$$J_{\varepsilon}(u_{\varepsilon}) \leq J_{\varepsilon}(u) \leq J(u)$$

$$D \ll J_{\varepsilon}(u_{\varepsilon}) \leq C \text{ ind de } \varepsilon.$$

$$\text{Donc } \frac{1}{\varepsilon} \int_{\Omega} |\operatorname{div} u_{\varepsilon}|^2 dx \leq C + 2 \int_{\Omega} f u_{\varepsilon}$$

$$+ \mu \int_{\Omega} |\nabla u_{\varepsilon}|^2 \leq C + 2 \|f\|_{L^2} \|u_{\varepsilon}\|_{L^2}$$

$$\leq C' \|\nabla u_{\varepsilon}\|_{L^2}$$

$$\leq C + C'' \|f\|_{L^2}^2 + \frac{\mu}{2} \|\nabla u_{\varepsilon}\|_{L^2}^2$$

$$\text{Donc } \frac{\mu}{2} \int_{\Omega} |\nabla u_{\varepsilon}|^2 dx + \frac{1}{\varepsilon} \int_{\Omega} |\operatorname{div} u_{\varepsilon}|^2 \leq C + C'' \|f\|_{L^2}^2 \text{ à min } J_{\varepsilon}$$

$$\leq K \text{ ind de } \varepsilon. \quad J'_{\varepsilon}(u_{\varepsilon})(v) = 0 = \mu \int_{\Omega} \nabla u_{\varepsilon} \cdot \nabla v dx$$

$$\text{Donc } \int_{\Omega} |\operatorname{div} u_{\varepsilon}|^2 dx \leq K \varepsilon$$

$$\text{et } \|u_{\varepsilon}\|_{H^1} \leq K.$$

$$\hookrightarrow u_{\varepsilon} \rightarrow u_0 \text{ ds } H_0^1.$$

$$\left\{ \begin{array}{l} \operatorname{div} u_{\varepsilon} \rightarrow 0 \text{ ds } L^2. \end{array} \right.$$

$$\text{On introduit } p_{\varepsilon} = - \frac{\operatorname{div} u_{\varepsilon}}{\varepsilon}.$$

• On regarde l'EDP associée

$$\forall v \in H_0^1(\Omega)$$

$$- \int_{\Omega} f v dx$$

$$+ \underbrace{\frac{1}{\varepsilon} \int_{\Omega} \operatorname{div} u_{\varepsilon} \operatorname{div} v dx}_{- \int_{\Omega} p_{\varepsilon} \operatorname{div} v dx}$$

Donc, si on se limite à  $v \in (\mathcal{D}(\Omega))^n$ :

$$\int_{\Omega} (-\mu \Delta u_{\varepsilon} - f + \nabla p_{\varepsilon}) \cdot v \, dx = 0$$

donc  $-\mu \Delta u_{\varepsilon} + \nabla p_{\varepsilon} = f$  dsd' ds  $L^2$ .

On montre (par  $u_{\varepsilon} \in H^1(\Omega)$  borné unif<sup>r</sup> en  $\varepsilon$ )

que  $\nabla p_{\varepsilon}$  est borné ds  $(H_0^1)'$  et

que  $p_{\varepsilon} \xrightarrow{\varepsilon \rightarrow 0} p_0$  donné ds  $L^2(\Omega)$

On peut alors passer à la limite sur la formule faible et on obtient

$$\forall v \in (H_0^1)^n \quad \mu \int_{\Omega} \nabla u_0 \cdot \nabla v \, dx + \int_{\Omega} \nabla p_0 \cdot v \, dx = \int_{\Omega} f v \, dx$$

$$\text{Soit } \begin{cases} -\mu \Delta u_0 + \nabla p_0 = f \\ \operatorname{div} u_0 = 0 \end{cases}$$

On a de plus que  $J(u_{\varepsilon}) \rightarrow J(u)$  et  $J(u_0)$

$$\Rightarrow u = u_0.$$

On a ainsi identifiés le pb de Stokes incompressible comme une équivalence au pb de minimisation  $\min_V J$ .

De plus le couple  $(u, p)$  est point selle du Lagrangien

$$Q(u, q) = J(u) + \int_{\Omega} \nabla q \cdot u \, dx$$

avec  $u \in (H_0^1(\Omega))^n$ ,  $q \in L^2(\Omega)$ .

Par cette approche (Lagrangien), les algos d'Uzawa, Harnow-Hurwicz sont des manières de sélectionner le pt selle  $(u, p)$ . (saddle point).

6) Méthode de Galerkin.

On se donne une F.V. vérifiant les hyp. du thm de Lax-Milgram

$$\forall v \in V \text{ (Hilbert)}$$

chercher  $u \in V$  /  $a(u, v) = l(v)$ .

Soit  $(v_n)_{n \in \mathbb{N}}$  une base de  $V$

On note  $V_m = \text{Vect}(v_0, \dots, v_m)$

On peut définir la F.V.:

$$(F.V.)_m : \begin{cases} \text{chercher } u_m \in V_m, \\ \forall v \in V_m \\ a(u_m, v) = l(v) \end{cases}$$

Par linéarité de  $a(u_m, \cdot)$  et  $l(\cdot)$

$$\text{Ceci est équivalent à} \begin{cases} \text{chercher } u_m \in V_m / \\ \forall 1 \leq i \leq m \\ a(u_m, v_i) = l(v_i), \end{cases}$$

La solu<sup>c</sup>  $u_m \in V_m$  est une approximi<sup>c</sup>  
de  $u$  grâce au lemme de C<sup>r</sup>a:

$$\exists C > 0 \quad \|u - u_m\|_V \leq C \|u - P_{V_m} u\|_V.$$

Le sys linéaire sous-jacent à la  
(F.V)<sub>m</sub> est :

$$u_m = \sum_{j=0}^m \alpha_j v_j$$

On cherche  $(\alpha_j)_{0 \leq j \leq m} \in \mathbb{R}$ .

$$\text{et } \sum_{j=0}^m a(v_j, v_i) \alpha_j = l(v_i) \quad \begin{matrix} i=0 \dots m \\ \text{eq.} \end{matrix}$$

$$\text{On note } A = \begin{matrix} & \downarrow j \\ i \rightarrow & (a(v_j, v_i)) \end{matrix}$$

la matrice du sys. linéaire.

Rappel: les méthodes éléments  
finis conformes ( $V_m \subset V$ ) rentrent  
dans le cadre des méthodes de  
Galerkin.

$$\text{Rappel 2: } a(v_j, v_i) = \int \dots \\ = \sum_{\text{éléments } T} \int_T \dots$$

Exemple :

$\int_{\tau} \nabla v_i \cdot \nabla v_j$  coïncide avec :

$$\begin{cases} \text{soit } 0 & \text{si } \text{supp } v_i \cap \tau = \emptyset \\ & \text{ou } \text{supp } v_j \cap \tau = \emptyset \\ \text{soit } \int_{\tau} \nabla \varphi_l \cdot \nabla \varphi_k & \text{si } \varphi_l \text{ et } \varphi_k \end{cases}$$

sont des fonctions

de base associées à l'élément.

et  $1 \leq l \leq \text{ddl}$  ( $= 3$  pour  $P_1$ ,  
 $1 \leq k \leq \text{ddl}$  en  $\text{dim}=2$ )

$$\int_{\tau} \nabla \varphi_l \cdot \nabla \varphi_k = M(\tau)_{l,k}$$

+ degré variable.  
↳ la surface est géométrique

où  $el$  est une matrice dite  
élémentaire de référence associée  
à un calcul sur un élément de  
référence ;

La construction générale de la  
matrice  $A$  est alors :

boucle sur les éléments

- calcul de  $el_{\tau}$  ;

- identification des numéros

globaux du maillage

(ou  $\text{ddl}$ )  $\rightarrow S = S(1:\text{ddl})$

do  $l = 1, \dots, d$

do  $k = 1, \dots, d$

$$A(S(l), S(k)) = A(S(l), S(k)) + \epsilon_z(l, k)$$

end do

end do

Remarque: Les méthodes de type transformée de Fourier rentrent ds le cadre des méthodes de Galerkin.

On choisit une base avec des fonctions trigonométriques

qui a l'avantage d'être orthogonale et qui conduit donc une matrice  $A$  diagonale dès lors que l'EDP sous-jacent est à coeff. constant.

Le seul coût est de décomposer le terme source dans cette base. Ceci se fait par FFT.

7) Exercice: continuité des flux.



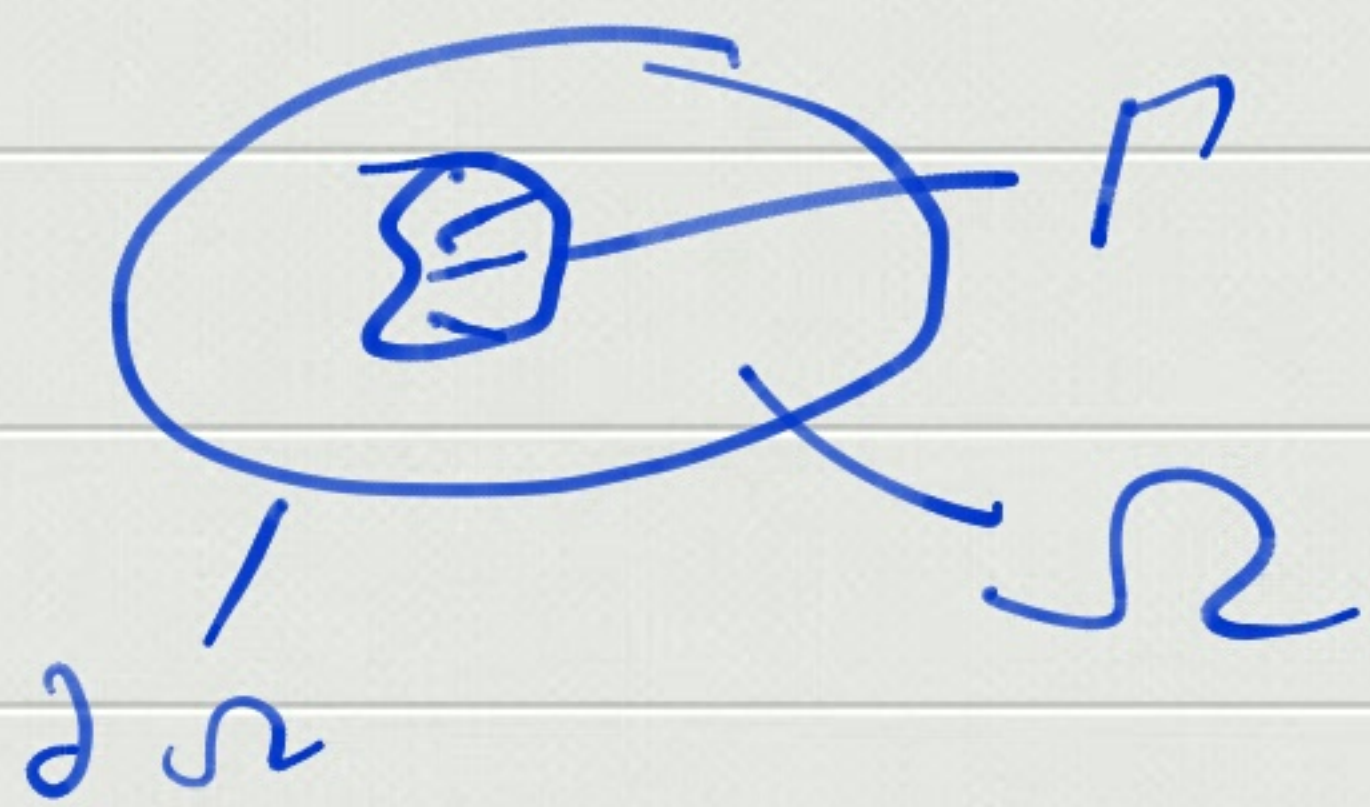
On se donne le pb elliptique:

$$\begin{cases} -\operatorname{div}(\alpha(x) \nabla u(x)) = f(x), & x \in \Omega \\ u|_{\partial\Omega} = 0 \end{cases}$$

avec  $f \in L^2(\Omega)$ .

$\alpha \in L^\infty(\Omega)$   $\alpha \geq \alpha_0 > 0$ .

et  $\alpha$  est discontinu le long  
d'une courbe  $\Gamma \subset \Omega$ .



Montrons que  $\alpha \nabla u \cdot \vec{n}|_{\Gamma^-} = \alpha \nabla u \cdot \vec{n}|_{\Gamma^+}$

Exo...

On a continuité du flux normal  $(\alpha \nabla u \cdot \vec{n})$  à travers l'interface de discontinuité de  $\alpha$ .

# Chap 3 Problème parabolique.

On renvoie au cours ANAV (2A-1100A) (chap. précédent).

Les problèmes paraboliques sont des problèmes d'évolution qui s'écrivent :

$u(t, x)$  : fonction inconnue.  
 $t \in \mathbb{R}^+$ ,  $x \in \Omega$ .

$$\partial_t u + Au = f = f(t, x) \quad \forall t \in \mathbb{R}^+ \\ \forall x \in \Omega$$

+ CL sur  $\partial\Omega$  si

l'opérateur  $A$  le nécessite :

$A$  est un opérateur elliptique

(chap. précédent).

$A$  sera en pratique un opérateur d'ordre 2 (ie faisant intervenir des dérivées secondes en espace (2))

+ une donnée initiale ou donnée de Cauchy

$$u(t=0, \cdot) = u_0(\cdot)$$

sur  $\Omega$

Le problème est défini pour

$t > 0$  car on ne peut pas

définir la solution en temps rétrograde.  
 La transformée de Fourier en espace permet de comprendre pourquoi la solution se régularise en  $t \nearrow$  et qu'il n'est pas possible de décrire la solution dès le passé.

Exemple:  $\partial_t u - \partial_{xx}^2 u = 0$   
 $t \in \mathbb{R}^+, x \in \mathbb{R}$ .

En notant  $\hat{u}(t, \xi) = \mathcal{F}(u(t, x))$

$$\mathcal{F}(u)(\xi) = \frac{1}{(2\pi)^{d/2}} \int_{\mathbb{R}^d} e^{-i x \cdot \xi} u(x) dx$$

On a:

$$\partial_t \hat{u} + |\xi|^2 \hat{u} = 0$$

Soit  $\hat{u}(t, \xi) = e^{-|\xi|^2 t} \hat{u}(0, \xi)$

La solution s'écrit:

$$u(t, x) = \frac{1}{(4\pi t)^{1/2}} \int_{\mathbb{R}} e^{-\frac{(x-y)^2}{4t}} u_0(y) dy$$

Cette formule montre le fait que l'information se propage à vitesse infinie pour cette EDP. En effet la Gaussienne ne s'annule jamais et

si  $u_0 \geq 0$   $\text{supp } u_0 \subset ]x_0 - \eta, x_0 + \eta[$   
et  $\int u_0 > 0$

$\forall t > 0, \hat{m}$  petit,  $\forall x \in \mathbb{R}, \hat{m}$  long  
de  $u_0, \hat{m}$  si  $\eta$  est petit,  $u(t, x) > 0$ .

Donc l'info se propage à une vitesse  
aussi grande que l'on veut, donc  $\infty$ .

## I Schéma en temps.

Si l'info se propage à vitesse  $\infty$ ,  
pour une discrétisation spatiale l'info  
se propage à une vitesse (finie)

grande avec la taille (petite)  
des mailles.

Les méthodes explicites vont donc  
induire des conditions CFL  
très restrictives.

$$\text{Exple : } St = \frac{h}{2/h} = \frac{h^2}{2}$$

(ici  $2/h$  correspond à la vitesse  
de propagation de l'information).  
Cet exple se rencontre en DF 1D  
pour la chaleur :

$$\partial_t u - \partial_x^2 u = 0$$

et le schéma en temps et en espace :

$$u_i^m \sim u(t_n, x_i) \quad t_n = n \delta t \\ x_i = i h$$

$$\frac{u_i^{m+1} - u_i^m}{\delta t} + \frac{1}{h^2} (-u_{i-1}^m + 2u_i^m - u_{i+1}^m) = 0$$

$$u_i^{m+1} = \left(1 - \frac{2\delta t}{h^2}\right) u_i^m + \frac{\delta t}{h^2} u_{i-1}^m + \frac{\delta t}{h^2} u_{i+1}^m \text{ implicites.}$$

Si  $\frac{2\delta t}{h^2} \leq 1$ , le schéma est stable

$L^\infty$  (combinaison convexe)

et le schéma est instable sinon.

Il devient déraisonnable d'utiliser un tel schéma lorsque  $h$  est petit.

On introduit alors des schémas

Exemples :

le schéma d'Euler implicite  
pour la chaleur :

$$\frac{u^{n+1} - u^n}{\delta t} - \partial_x^2 u^{n+1} = f(t_{n+1}, x)$$

On reconnaît un problème de nature elliptique :

$$\left( \frac{\text{Id}}{\delta t} - \partial_x^2 \right) u^{n+1} = \frac{u^n}{\delta t} + f$$

opérateur elliptique

+ CL par l'opérateur.  
n bnd.

A chaque itération, on doit résoudre un problème elliptique

mais qui sera moins coûteux que le pb elliptique associé au pb stationnaire (formellement  $\delta t = +\infty$ ). Cela suppose que  $f(t, \cdot) \xrightarrow{t \rightarrow +\infty} f_0$ .

On se donne  $A$  un opérateur elliptique et l'éq:

$$\begin{cases} \partial_t u + Au = 0 & t > 0, x \in \Omega \\ u(t=0, \cdot) = u_0(\cdot) \end{cases} + CL \text{ associée à } A \text{ si besoin.}$$

Si on transforme ce pb sous forme variationnelle:

$$(\partial_t u, v)_{L^2} + a(u, v) = 0 \quad \forall v \in V \text{ ou } \forall v \in L^2(0, T; V)$$

où  $a(\cdot, \cdot)$  vérifie les hyp. du

thm de Lax-Nilgram.

Faiblement, on prend  $v = u$  et

on a: suite au tableau.

fait:  $A$ -stabilité pour  $\neq$

schémas (E. imp. CN, Gear).

pour parabolique avec ou sans terme source.

+ III Splitting

IV Stokes instationnaire incompressible.

On s'intéresse à l'EDP:

$$\begin{cases} \partial_t u - \Delta u + \nabla p = f \\ \operatorname{div} u = 0 \text{ sur } \mathbb{R}^+ \times \Omega \\ \text{IC: } u(t=0, \cdot) = u_0 \\ \text{CL: } u|_{\partial\Omega} = 0 \end{cases}$$

On propose naturellement le schéma d'Euler implicite pour ce problème parabolique :

$$\begin{cases} \frac{u^{n+1} - u^n}{\delta t} - \Delta u^{n+1} + \nabla \cdot \tau^{n+1} = f \\ \operatorname{div} u^{n+1} = 0 \\ u^{n+1}|_{\partial\Omega} = 0 \end{cases}$$

Cette suite est bien définie en tant que suite d'un pb elliptique de type Stokes incompressible (cf chap 2).

Vérifions la stabilité de ce schéma :

On prend le p.s.  $L^2(\Omega)$  de l'éq avec  $u^{n+1}$  et on  $\int_{\Omega}$ .

Ceci revient à écrire la F.V. et prendre  $u^{n+1}$  comme fonction test.

Pour simplifier, on prendra  $f=0$ .

$$\frac{1}{\delta t} \|u^{n+1}\|_{L^2}^2 + \|\nabla u^{n+1}\|_{L^2}^2 + \underbrace{(\nabla \cdot \tau^{n+1}, u^{n+1})}_{-\int_{\Omega} p \operatorname{div} u^{n+1}} + \underbrace{\int_{\partial\Omega} p u^{n+1} \cdot n \, d\sigma}_{=0}$$

$$= \frac{1}{\delta t} (u^n, u^{n+1})$$

$$\leq \frac{1}{2\delta t} \|u^n\|_{L^2}^2 + \frac{1}{2\delta t} \|u^{n+1}\|_{L^2}^2$$

$$\hookrightarrow \frac{1}{2\delta t} \|u^{n+1}\|_{L^2}^2 + \|\nabla u^{n+1}\|_{L^2}^2 \leq \frac{1}{2\delta t} \|u^n\|_{L^2}^2$$



On obtient donc une suite  $\|u^n\|_{L^2}$   
 $\hookrightarrow$  donc la A-stabilité  $L^2(\Omega)$  de  
 ce schéma.

Néanmoins la résolution de ce pb est  
 aussi complexe que de résoudre Stokes  
 stationnaire.

On va préférer une autre méthode qui  
 exploite l'instationnarité.

On propose une (des) technique(s)  
 de splitting :

1<sup>er</sup> splitting: Splitting de Chorin  
 ou Chorin-Teman.

$$\begin{cases} \partial_t \tilde{u} - \Delta \tilde{u} = f & \text{sur } ]0, \delta t[ \times \Omega \\ \tilde{u}(0, \cdot) = u_0 \end{cases}$$

$$\begin{cases} \partial_t v + \nabla p = 0 & \text{sur } ]0, \delta t[ \times \Omega \\ \operatorname{div} v = 0 & \text{sur } ]0, \delta t[ \times \Omega \\ v(0, \cdot) = \tilde{u}(\delta t, \cdot) \\ v(\delta t, \cdot) \text{ approche } u(\delta t, \cdot). \end{cases}$$

Ce splitting écrit par un schéma  
 de discrétisation :

$$\begin{cases} \frac{\tilde{u}^{n+1} - \tilde{u}^n}{\delta t} - \Delta \tilde{u}^{n+1} = f \\ \tilde{u}^n |_{\partial \Omega} = 0 \\ \tilde{u}^0 = u^0 \end{cases}$$

$$\begin{cases}
 \frac{v^{n+1} - \tilde{u}^{n+1}}{\delta t} + \nabla p^{n+1} = 0 \\
 \operatorname{div} v^{n+1} = 0 \\
 v^{n+1} \cdot n = 0
 \end{cases}$$

$v^{n+1}$  approche  $u^{n+1}$ .

Pour résoudre (\*), on applique  $\operatorname{div}$  à la 1<sup>ère</sup> eq:

$$-\frac{1}{\delta t} \operatorname{div} \tilde{u}^{n+1} = -\Delta p^{n+1}$$

$$\text{et } \partial_n p^{n+1} = 0$$

On reconnaît (chap 2) que (\*) traduit exactement que

$$v^{n+1} = P_{\perp} \tilde{u}^{n+1}$$

où  $P_{\perp}$  est le projecteur

sur les fonctions à  $\operatorname{div} = 0$  introduit au chap 2.

Cet algo porte aussi le nom de prédiction-corréction: prédiction en vitesse pour le

phénomène visqueux, puis correction  
 en pression pour se ramener à  
 une vitesse  $\tilde{u}$   $\text{div} = 0$ .

Une variante de ce splitting de  
 Chorin est :

$$\left\{ \begin{array}{l} \frac{\tilde{u}^{n+1} - u^n}{\delta t} - \Delta \tilde{u}^{n+1} + \nabla \pi^n = f \\ \tilde{u}^{n+1} |_{\partial \Omega} = 0 \end{array} \right. \quad (\text{prédiction})$$

Correction :

$$\left\{ \begin{array}{l} \frac{v^{n+1} - \tilde{u}^{n+1}}{\delta t} + \nabla (\pi^{n+1} - \pi^n) = 0 \\ \text{div } v^{n+1} = 0 \\ u^{n+1} \leftarrow v^{n+1} \end{array} \right.$$

IV Navier-Stokes incompressible

On rajoute le terme  
 non-linéaire :

$$\begin{cases} \partial_t u - \frac{1}{Re} \Delta u + \underline{u \cdot \nabla u} + \nabla p = f \\ \operatorname{div} u = 0 \\ + CL + CI. \end{cases}$$

$$\begin{cases} \partial_t u_3 + \nabla p = 0 \\ \operatorname{div} u_3 = 0 \\ u_3(0, \cdot) = u_2(\delta t, \cdot) \end{cases}$$

On peut procéder de  $\hat{m}$  par Splitting

$u_3(\delta t, \cdot)$  est censé  
approcher  $u(\delta t, \cdot)$ .

exemple de splitting:

$$\begin{cases} \partial_t u_1 + u_1 \cdot \nabla u_1 = 0 \\ u_1(0, \cdot) = u(0, \cdot) = u_0 \\ + CL \end{cases}$$

$$\begin{cases} \partial_t u_2 - \frac{1}{Re} \Delta u_2 = f + CL \\ u_2(0, \cdot) = u_1(\delta t, \cdot) \end{cases}$$

## Chap 4

### Equations dispersives.

On traitera 2 eq. : Schrödinger NL et KdV qui peuvent être dérivées dans des pos d'onde de surface.

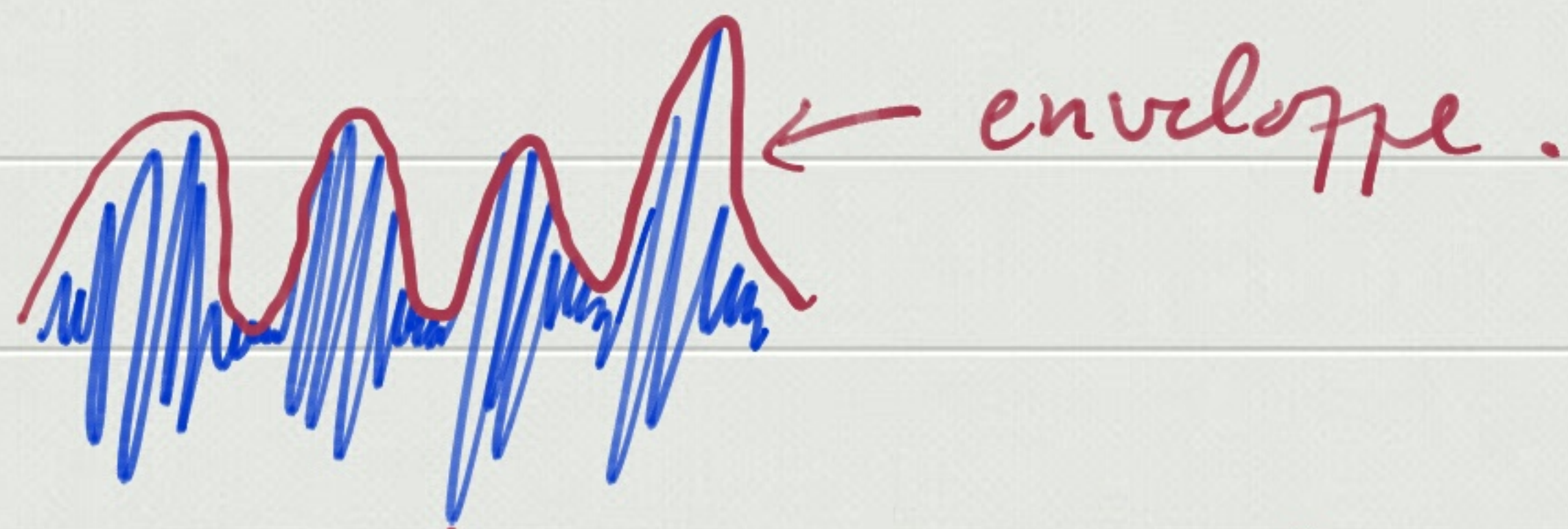
les "solitons" créés devront pouvoir être suivis numériquement sur de longues distances.

Exple:

Depuis les eq. de Maxwell, en cherchant le champ électrique

sous la forme  $\vec{E} = \vec{E} e^{\frac{i(kz - \omega t)}{\epsilon}} \mathcal{E}(t, \frac{z}{\sqrt{\epsilon}}, \frac{y}{\sqrt{\epsilon}}, z)$

$\epsilon$  des  $k$  et  $\omega$  tendent vers 0.



La courbe rouge représente une eq de Schrödinger.

A) Eq de Schrödinger.

I Schrödinger linéaire.

Cette EDP :  $u \equiv u(t, x) \in \mathbb{C}$ .

$$\begin{cases} i \partial_t u + \Delta u = f & t \in \mathbb{R} \\ & x \in \Omega \\ u(t=0, \cdot) = u_0 & \subset \mathbb{R}^N \\ + CL \text{ si } \Omega \text{ est borné.} \end{cases}$$

En séparant la partie réelle et la partie imaginaire :  $u = v + iw$   
 $v, w \in \mathbb{R}$ .

$$-\partial_t w + \Delta v = \operatorname{Re}(f)$$

$$\partial_t v + \Delta w = \operatorname{Im}(f)$$

Soit 
$$\begin{cases} \partial_t \begin{pmatrix} v \\ w \end{pmatrix} + \begin{pmatrix} 0 & \Delta \\ -\Delta & 0 \end{pmatrix} \begin{pmatrix} v \\ w \end{pmatrix} = \begin{pmatrix} \operatorname{Im}(f) \\ \operatorname{Re}(f) \end{pmatrix} \end{cases}$$

Si on oublie le second membre, on teste cette eq. avec  $\begin{pmatrix} v \\ w \end{pmatrix}$

$$\frac{1}{2} \frac{d}{dt} \left[ |v|^2 + |w|^2 \right] + 0 = 0$$

sur  $\Omega = \mathbb{R}^N$ .

Donc  $|u|_{L^2(\Omega)}^2 = \int_{\Omega} u \bar{u}$  est conservée.

On peut refaire le même calcul en prenant l'eq :  $i\partial_t u + \Delta u = 0$  multipliée par  $\bar{u}$  et intégrée.

On constate que l'énergie  $(\|\cdot\|_{L^2})^2$

est conservée par cette eq.

II Quelques propriétés qualitatives.

1) L'outil Fourier.

Pour comprendre le phénomène, on peut appliquer Fourier :

$$i \partial_t \hat{u} + i \zeta \cdot i \zeta \hat{u} = 0$$

$$i \partial_t \hat{u} - |\zeta|^2 \hat{u} = 0 \text{ soit } \partial_t \hat{u} + i |\zeta|^2 \hat{u} = 0$$

$$\text{Soit } \hat{u}(t, \zeta) = e^{-i |\zeta|^2 t} \hat{u}_0$$

$$\text{On trouve } |\hat{u}(t, \zeta)| = |\hat{u}_0|$$

$$\text{ce qui implique } \|\hat{u}\|_{L^2} = \|\hat{u}_0\|_{L^2}$$

$$\text{ou encore } \|u\|_{H^s} = \|u_0\|_{H^s}$$

On peut en déduire un résultat d'existence pour  $\hat{u}$  et donc pour  $u$ .

On a une conservation des normes  $H^s$  qui autorise  $t < 0$ .

$$\bullet u(t, x) = \frac{e^{-i \frac{\pi}{4} N}}{(2 \pi t)^{N/2}} \int_{\mathbb{R}^N} e^{i \frac{(x-y)^2}{4t}} u_0(y) dy$$

2) La dispersion.

On peut en déduire :

$$\|u\|_{L^\infty_x}(t) \leq \frac{1}{(2 \pi t)^{N/2}} \|u_0\|_{L^1_x}$$

C'est le phénomène de dispersion.

### III Schrödinger Non-linéaire. (NLS)

La non-linéarité qui intervient dans les modèles est  $\pm |u|^2 u$ .

$$i\partial_t u + \Delta u = \pm |u|^2 u$$

Si on calcule, comme précédemment

$$\frac{d}{dt} \|u\|_{L^2}^2, \text{ on retrouve } = 0, \text{ i.e.}$$

$$\|u\|_{L^2}^2 = \|u_0\|_{L^2}^2 \quad \forall t \in \mathbb{R}.$$

Ce pb N-L reste conservatif mais peut potentiellement

contenir les effets dispersifs et produire même des solitons appelés "soliton". On a une soliton à énergie concentrée, qui se propage.

### IV Choix d'une méthode numérique.

On veut une méthode capable de conserver l'énergie pour avoir un soliton durablement.

1) Cas linéaire



$$i\partial_t u + \Delta u = 0$$

le schéma de Crank-Nicholson est adapté :

$$i \frac{u^{n+1} - u^n}{\delta t} + \Delta \left( \frac{u^n + u^{n+1}}{2} \right) = 0$$

En effet, on trouve, par multiplication par  $\frac{u^n + u^{n+1}}{2}$  et  $\int_{\Omega}$  :

$$\|u^{n+1}\|_2^2 = \|u^n\|_2^2$$

en ne gardant que la partie imaginaire pure.

## 2) NLS

On a envie de garder le schéma de (C.N). Mais sur

le terme N-L, ce choix est compliqué.

On préfère une technique de Splitting : le splitting de Strang :

$$- \frac{1}{2} \delta t \text{ de résolu de } i\partial_t u = |u|^2 u$$

$$- \frac{1}{2} \delta t \text{ par C.N. } - i\partial_t u + \Delta u = 0$$

$$- \frac{1}{2} \delta t \text{ } - \text{ } - \partial_t u = |u|^2 u$$

## V Soliton.

On recherche une soln<sup>e</sup> particulière aux eqs de Schrödinger N-L, sous la forme:

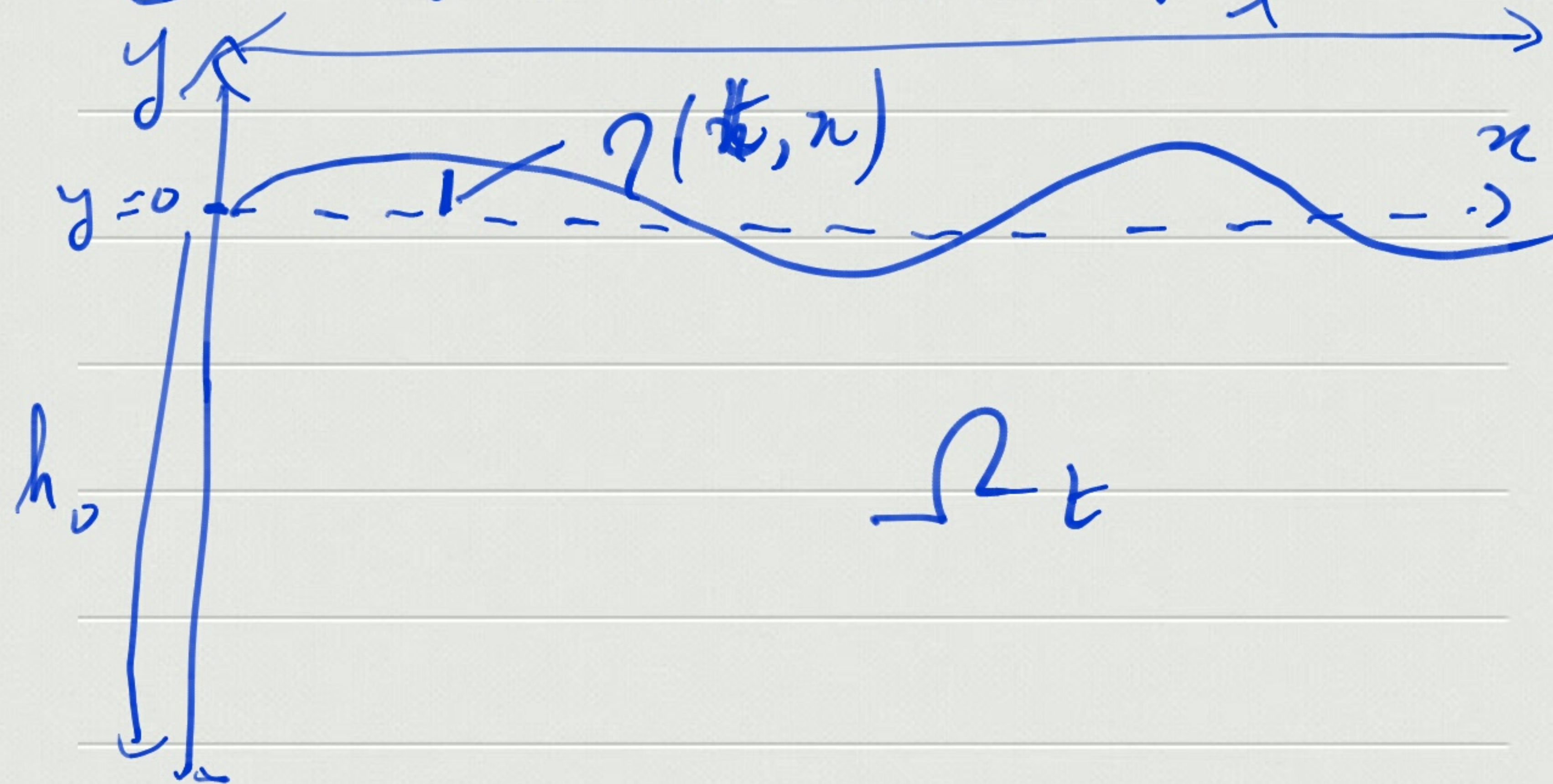
$$u(t, x) = u_0(x - ct)$$

En exprimant la soln<sup>e</sup> sous cette forme ds les eq. de NLS, on trouve une eq sur  $u_0(\cdot)$  (ou famille d'eq) associée à  $c$  (qui dépend de  $u_0$  choisi).

## B) Les eqs. de KdV.

KdV est dérivée depuis Euler 2D à surface libre, pour décrire le comportement de l'éléva<sup>t</sup> de la surface (1D) de l'eau ds un canal.

I Méthode de dériva<sup>t</sup>:  $l$



Sur  $\Omega_t$ , on écrit Euler 2D incompressible. On introduit un adimensionnement

$$\vec{u} = \begin{pmatrix} u \\ w \end{pmatrix}$$

$$\partial_x u + \partial_y w = 0$$

(incompressibilité)

$$\bar{x} = \frac{x}{l}, \quad \tilde{y} = \frac{y}{h_0}, \quad c_0 = \sqrt{gh_0}$$

$$\tilde{t} = \frac{c_0 t}{l}, \quad \varepsilon = \frac{a}{h_0}$$

On suppose le fluide irrotationnel:  $\text{rot } \vec{u} = \vec{0}$

A la surface  $\partial_t \eta + u \partial_x \eta - w = 0$  si  $y = \eta$   
(le fluide s'écoule le long de la surface).

$$\sigma^2 = \left(\frac{h_0}{l}\right)^2$$

$$\tilde{u} = \frac{h_0}{a c_0} u$$

$$\tilde{w} = \frac{l}{a c_0} w$$

$$\tilde{\eta} = \frac{\eta}{a}$$

Dans  $\Omega_t$ ,  $0 < y < \eta$ , en  $y = -h_0$ :  $w = 0$ .

$$\partial_t u + u \partial_x u + w \partial_y u + \frac{1}{\rho} \partial_x p = 0 \text{ ds } \Omega_t, \forall t$$

$$\tilde{p} = \frac{1}{\rho g h_0} p \uparrow$$

$$\partial_t w + u \partial_x w + w \partial_y w + \frac{1}{\rho} \partial_y p = -g$$

$\text{rot } \vec{u} = 0 \text{ ds } \Omega_t, \forall t$   
 $w = 0 \text{ en } y = -h_0$

$$\partial_t \eta + u \partial_x \eta - w = 0 \text{ en } y = \eta$$

On aura: en abandonnant les "z":

$$\partial_t u + \varepsilon u \partial_x u + \varepsilon w \partial_y u + \frac{1}{\varepsilon} \partial_x \tau = 0$$

$$\varepsilon \sigma^2 \partial_t w + \varepsilon^2 \sigma^2 u \partial_x w + \varepsilon^2 \sigma^2 w \partial_y w + \partial_y \tau + 1 = 0.$$

• L'étape suivante, consiste à intégrer selon la verticale.

• On regarde ensuite u comme:

$$u(x, \varepsilon q, t)$$

$$w(x, \varepsilon q, t)$$

• En négligeant les termes "petits":

$$\underline{O(\sigma^4)}, \underline{O(\varepsilon \sigma^2)}, O(\varepsilon^3 \sigma^2) \dots$$

On obtient alors le système

de Boussinesq:

$$\begin{cases} \partial_t \tau + \partial_x u + \varepsilon \partial_x (\tau u) - \frac{\sigma^2}{\varepsilon} \partial_x^2 u = 0 \\ \partial_t u + \partial_x \tau + \varepsilon u \partial_x u - \frac{\sigma^2}{2} \partial_x^2 u = 0 \end{cases}$$

Avec qq hyp supplémentaires (u temporelle), on obtient KdV:

$$\partial_t u + \partial_x^3 u + \varepsilon u \partial_x u = 0$$

KdV: Korteweg de Vries.

## II Propriétés qualitatives de KdV.

On identifie les quantités conservées sur KdV :  $u$  : hauteur d'eau.

Exo : Vérifier que :

la masse est conservée :

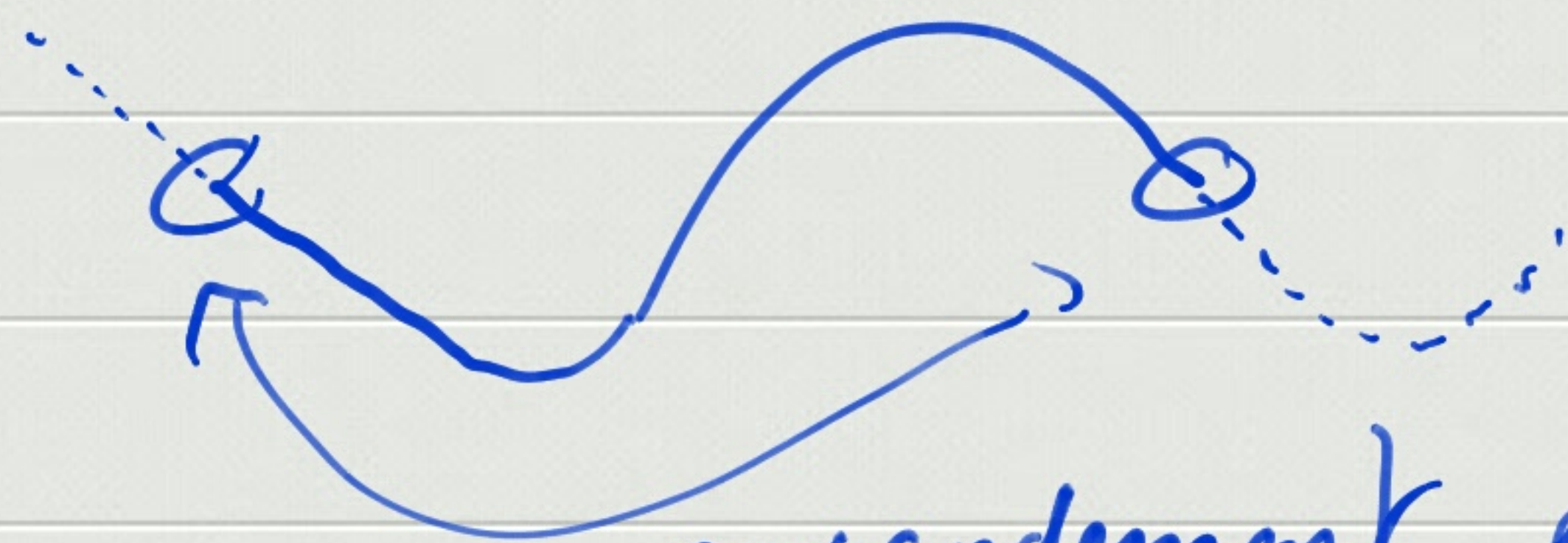
$$\int_0^L u(t, x) dx$$

moment<sup>2</sup> :  $\int_0^L u^2 dx$

énergie :  $\int_0^L (\partial_x u)^2 dx - \frac{1}{6} \int_0^L u^3 dx$

en supposant le domaine spatiale  $[0, L]$  périodique.

$$\partial_t u + \partial_x^3 u + 6u \partial_x u = 0$$



successivement de toutes les quantités suivantes :

$$\partial_t \int_0^L u + \int_0^L \partial_x^3 u + 6 \int_0^L \partial_x \left( \frac{u^2}{2} \right) dx = 0$$

$\underbrace{\int_0^L u, \partial_x u, \partial_x^2 u, \dots}_{\partial_x^2(u)(L) - \partial_x^2(u)(0)} \quad \underbrace{\int_0^L \dots}_{\text{idem} = 0} = 0$

• Pour  $\int u^2$  : on multiplie par  $u$  et on  $\int_0^L$  :

$$\frac{1}{2} \frac{d}{dt} \|u\|_{L^2}^2 + \int_0^L \partial_n^3 u u \, dx +$$

$$- \int_0^L u \partial_n^3 u \, dx \quad (3 \text{ I.P.P.})$$

~~$\left[ \partial_n^2 u u \right]_0^L$~~  par périodicité  
 + idem autres termes de bord

$$+ 6 \int_0^L u \partial_n u u$$

$$= \int_0^L u^2 \partial_n u$$

$$= \int_0^L \frac{1}{2} \partial_n u^2 u$$

$$\text{Or } \int u^2 \partial_n u = - \int \partial_n (u^2) u$$

$$= -2 \int u^2 \partial_n u$$

$$\text{Donc } 3 \int u^2 \partial_n u = 0$$

$$\text{et } 2 \int_0^L \partial_n^3 u u \, dx = 0$$

$$\text{Finalement } \frac{d}{dt} \|u\|_{L^2}^2 = 0.$$

III Choix de Schémas conservatifs.

On cherche des schémas capable de conserver les invariants.

Comme pour le terme anti-symétrique On se focalisera sur (S9).

de Schrödinger, on est tenté d'introduire un schéma "de type" Crank-Nicholson: le schéma de Sanz-Serna:

$$(S9) \frac{u^{n+1} - u^n}{\delta t} + \partial_x^3 \frac{u^n + u^{n+1}}{2} + \frac{\beta}{2} \partial_x \left( \frac{u^n + u^{n+1}}{2} \right)^2 = 0$$

Ces schémas ont un inconvénient majeur: ils sont implicites et non-linéaires!

Exo: démontrer la conservation  $L^2$ .

Le schéma de C.N stricto-sensu s'écrit:

$$\frac{u^{n+1} - u^n}{\delta t} + \partial_x^3 \frac{u^n + u^{n+1}}{2} + \beta \partial_x \frac{u^{n+1,2} + u^{n,2}}{2} = 0$$